

Effect of IGF-1 Gene Therapy in Acute Cutaneous Wound Healing in Streptozotocin-Induced Diabetic Rats

Fereshteh Beygom Talebpour Amiri¹,
Mahnaz Mahmoudirad²,
Mehri Mirhoseini³,
Mansoureh Mirzaei⁴

¹ Assistant Professor, Department of Anatomy, Faculty of Medicine, Mazandaran University of Medical Sciences, Sari, Iran

² Associate Professor, Skin Research Center, Shahid Beheshti University of Medical Sciences, Tehran, Iran

³ Assistant Professor, Amol Faculty of Nursing & Midwifery, Mazandaran University of Medical Sciences, Sari, Iran

⁴ MSc in Anatomy, Mazandaran University of Medical Sciences, Sari, Iran

(Received February 19, 2014 ; Accepted September 17, 2014)

Abstract

Background and purpose: Delayed wound healing is a common complication of diabetes mellitus. However, less is known about the cause of this pathology. Types of skin cells, extracellular matrix and variety of growth factors are involved in wound healing. The use of recombinant growth factors in researches and production of skin substitutes are still a challenge. Much research has been done on the effects of gene therapy and cell therapy in wound healing. This experimental study assessed the effect of insulin-like growth factor (IGF-1) over expression in combination with fibroblast cells therapy to diabetic wounds in rats.

Material and methods: Diabetes was induced in rats using Streptozotocin. Fibroblasts were cultured and transfected with IGF-1. Lipofectamine 2000 was used as reagent transfection and transgene expression levels were measured by ELIZA. To study the in vivo, rats (weighing 170-200g) were randomly divided into three groups (5/group) and full-thickness wounds were created on the dorsum region. Suspensions of transfected fibroblast and native fibroblast cells were injected into the wound and were compared with the wounds treated with normal saline. For microscopic examination, biopsy was performed on day 8.

Results: In in vitro, the maximum expression of IGF-1 in transfected fibroblast cells (96.95 pg/ml) was 24 h after gene transfer. In vivo, IGF-1 gene therapy increased the number of fibroblast and keratinocyte cells in wound healing process. Granulation tissue formation in transfected fibroblast and native fibroblast cells groups compared with the normal saline group were found to be more organized.

Conclusion: The expression of IGF-1 increased by optimization of gene transfer. High concentrations of IGF-1, in combination with cell therapy, had a significant effect on delayed wound healing in diabetic rats.

Keywords: IGF-1, gene therapy, Diabetic, wound healing

بررسی اثر فاکتور رشد انسولینی در روند ترمیم زخم های حاد پوستی در رت های دیابتی شده به وسیله استرپتوزوتوسین

فرشته بیگم طالب پور امیری^۱
مهناز محمودی راد^۲
مهری میر حسینی^۳
منصوره میرزایی^۴

چکیده

سابقه و هدف: تاخیر در ترمیم زخم افراد دیابتی یک پدیده شایع است که پاتولوژی آن کم تر شناخته شده است. انواع سلول های پوستی، ماتریکس خارج سلولی و انواع فاکتورهای رشد در ترمیم زخم دخالت دارند. تحقیقات زیادی در خصوص اثرات ژن درمانی و سلول درمانی در بهبود زخم انجام شده است. در این مطالعه تجربی، اثرات انتقال سلول فیروبلاست ترنسفکته شده با ژن IGF-1 بر روی زخم های دیابتیک در رت مورد بررسی قرار گرفت.

مواد و روش ها: در مطالعه تجربی حاضر، دیابت در موش های صحرایی با استرپتوزوتوسین القا شد. فیروبلاست ها کشت داده شدند و با IGF-1 ترنسفکته شدند. از لیپوفکتامین ۲۰۰۰ به عنوان معرف ترنسفکشن استفاده شد. میزان بیان IGF-1 ترنس ژن شده به وسیله الیزا اندازه گیری شد. جهت مطالعه در محیط In Vivo حیوانات (با وزن ۲۰۰-۱۷۰ گرم) به طور تصادفی به سه گروه (۵ رت/گروه) تقسیم شدند و زخم هایی با ضخامت کامل پوست در ناحیه پشت گردن ایجاد شد. سوسپانسیون از سلول های فیروبلاست ترنسفکته و ترنسفکته نشده به لبه زخم تزریق شد و با زخم های درمان شده با نرمال سالین مقایسه گردید. برای آزمایشات میکروسکوپی، بیوپسی در روز ۸ انجام شد.

یافته ها: در محیط آزمایشگاهی، حداکثر بیان IGF-1 در سلول های فیروبلاست ترنسفکته (۹۶/۹۵ پیکوگرم/میکرولیتر)، ۲۴ ساعت بعد از ترنسفر ژن بود. همچنین در محیط In Vivo، ژن درمانی باعث افزایش فیروبلاست ها و کراتینوسیت ها در فرایند ترمیم زخم شد. بافت گرانوله تشکیل شده در زخم های ترمیم شده با فیروبلاست ترنسفکته و فیروبلاست ترنسفکته نشده در مقایسه با گروه کنترل سازمان یافته تر بود.

استنتاج: این مطالعه نشان داد که با بهینه سازی انتقال ژن، بیان IGF-1 افزایش یافت و انتقال سلول فیروبلاست ترنسفکته شده به محیط زخم، دارای اثرات قابل توجهی در بهبود زخم های حاد دیابتی در موش های صحرایی بود.

واژه های کلیدی: فاکتور رشد انسولینی، ژن درمانی، دیابتی، ترمیم زخم

مقدمه

دیابت یک بیماری متابولیک مزمن است که شیوع آن به سرعت در سرتاسر جهان رو به افزایش است و تخمین زده می شود که اکنون ۱۹۰ میلیون نفر در جهان به دیابت مبتلا می باشند و پیش بینی می شود که این تعداد

این مقاله حاصل طرح تحقیقاتی شماره ۵۱-۹۱ است که توسط معاونت تحقیقات و فناوری دانشگاه علوم پزشکی مازندران تامین شده است.

E-mail: mahnazrad@gmail.com

مؤلف مسئول: مهناز محمودی راد - تهران: دانشگاه علوم پزشکی شهید بهشتی

۱. استادیار، گروه آناتومی، دانشکده پزشکی، دانشگاه علوم پزشکی مازندران، ساری، ایران

۲. دانشیار، مرکز تحقیقات پوست، دانشکده پزشکی، دانشگاه علوم پزشکی شهید بهشتی، تهران، ایران

۳. استادیار، دانشکده پرستاری و مامایی حضرت زینب آمل، دانشگاه علوم پزشکی مازندران، ساری، ایران

۴. کارشناسی ارشد آناتومی، دانشگاه علوم پزشکی مازندران، ساری، ایران

تاریخ دریافت: ۱۳۹۲/۱۱/۳۰ تاریخ ارجاع جهت اصلاحات: ۱۳۹۲/۲/۷ تاریخ تصویب: ۱۳۹۳/۶/۱۷

تا سال ۲۰۳۰ به ۳۶۶ میلیون نفر برسد. در ایران هم حدود ۸ درصد از جمعیت کشور یعنی معادل پنج و نیم میلیون نفر مبتلا به دیابت هستند و بیش از نیمی از آن‌ها از بیماری خود اطلاع ندارند (۱-۳).

یکی از عوارض جدی و خطرناک دیابت، زخم پای دیابتیک می‌باشد که ۲۵ درصد از بیماران دیابتی در طول عمرشان از آن رنج می‌برند (۴). در بیش از ۲۴-۱۴ درصد از این افراد، بیماری پیشرونده بوده و در نهایت منجر به قطع عضو می‌گردد (۵). مرگ و میر در بیماران با قطع عضو اندام‌های بزرگ ۳۱ درصد می‌باشد (۶).

بهبود زخم یک فرایند پیچیده است که شامل چهار مرحله انعقاد، التهاب، تکثیر و بازسازی است که با هم تداخل دارند (۷). اختلال در ترمیم زخم یک موضوع مهم در بیماران دیابتی است (۸). درمان‌های مناسب برای این زخم‌ها با توجه به علت زخم شامل دبریدمان پیشرفته، درمان عفونت، درمان با اکسیژن پر فشار، بای پس جراحی برای عروق دار کردن و پانسمان موضعی می‌باشد (۹). برای بهبود و تسریع ترمیم زخم‌های آزاردهنده افراد دیابتی دارو و یا درمان مشخصی وجود ندارد و عوارض ناشی از این زخم‌های پوستی مشکلات زیادی از قبیل عفونت‌های مکرر، مقاومت‌های آنتی‌بیوتیکی، قطع عضو و هزینه‌های سنگین درمان و جراحی را برای بیماران دیابتی ایجاد می‌کند (۱۰، ۱۱). بنابراین پیدا کردن راه درمانی مناسب برای این بیماران توصیه می‌گردد.

ترمیم زخم‌های سطحی یک پروسه دینامیک است که انواع سلول‌های خونی، سلول پارانشیمال، ماتریکس خارج سلولی و فاکتورهای رشد در آن دخالت دارند (۱۲). فیروبلاست فراوان‌ترین سلول بافت همبند در تمام مراحل ترمیم زخم به خصوص در فاز تکثیر، با تولید کلاژن نقش فعالی دارد (۱۳، ۱۴). مورفولوژی این سلول در بیماران دیابتی تغییر یافته و کاهش در فعالیت آنها در حین ترمیم زخم دیده می‌شود (۱۵، ۱۶). سلول-درمانی یکی از راه‌های جدید کلینیکی است که امروزه برای ترمیم بافت آسیب دیده به کار می‌رود. سلول-

درمانی با استفاده از سلول‌های فیروبلاست اتولوگوس و آلوژنیک یک راه درمانی برای ترمیم زخم‌های Full-Thickness پوست می‌باشد (۱۷-۱۹). فیروبلاست به عنوان سلول پیام دهنده (signaling cell)، فاکتورهای رشد را ترشح می‌کند که برای ارتباط بین سلولی در طی فرآیند التیام نقش موثری دارد (۲۰، ۲۱).

IGF-1 سیتوکینی است که توسط فیروبلاست‌ها و سلول‌های اپیدرمی بیان می‌شود و نشان داده شده که در اپیتلیالیزه شدن مجدد و تشکیل بافت گرانوله در حین مراحل ترمیم زخم نقش دارد (۲۲). در پوست نرمال میزان ترشح IGF-1 در لایه گرانولوزی اپی‌درم و سلول‌های درم ناچیز است. اما ترشح آن در پوست ضایعه دیده به مقدار بیشتری می‌باشد، جایی که نقش مهمی در ترمیم زخم درمال و اپی‌درمال دارد. همچنین میزان IGF-1 در مایع زخم نیز به طور معنی‌داری افزایش می‌یابد (۲۳). اما میزان بیان mRNA و ترشح پروتئین IGF-1 در بیماران دیابتی و موش دیابتی کاهش می‌یابد (۱۵، ۲۴، ۲۵). Grazul-Bilaska و همکارانش در سال ۲۰۰۲ نشان دادند در افراد دیابتی تکثیر سلول فیروبلاست غیر طبیعی بوده و بیان داشتند فاکتور رشد آگروژنوس تکثیر فیروبلاست اندوژنوس را تحریک کرده و ترمیم زخم را تسهیل می‌کند (۲۶).

هم اکنون برای درمان بیماری‌ها از ژن‌درمانی استفاده می‌کنند و تاثیر مثبت فاکتورهای رشد بر روی تسریع تمایز و بهبود زخم‌های مزمن و حاد در افراد دیابتی و حتی غیر دیابتی یک امر ثابت شده در پزشکی مدرن می‌باشد (۲۷، ۲۸). به دلیل طول عمر پایین پروتئین‌ها از جمله فاکتورهای رشد در محیط زخم (۲۹)، تزریق آن‌ها به محیط زخم تاثیر زیادی نخواهد داشت. بنابراین هدف ما در تحقیق حاضر ترنسفر ژن به سلول‌های فیروبلاست درمال و به دنبال آن انتقال سلول‌های ترنسفته شده به محیط زخم می‌باشد تا به این صورت افزایش بیان IGF-1 را در ترمیم زخم‌های حاد دیابتیک در محیط *in vivo* بررسی نماییم.

مواد و روش‌ها

قبل از شروع مطالعه تمام آزمایشات حیوانی توسط کمیته اخلاق دانشگاه علوم پزشکی مازندران تایید شده است. در این مطالعه تجربی از ۱۵ سر موش صحرایی نر بالغ از نژاد Wistar با وزن حدود ۲۰۰-۱۷۰ گرم استفاده شد. جهت خو گرفتن با محیط آزمایشگاه برای مدت یک هفته با دمای $21 \pm 1^\circ\text{C}$ و شرایط تاریکی و روشنایی ۱۲ ساعته در حیوان‌خانه نگهداری شدند و دسترسی آزاد به آب و غذای استاندارد داشتند.

حیوانات به صورت تصادفی به سه گروه تقسیم شدند: (۱) زخم‌هایی که با 3×10^5 سلول فیروبللاست ترنسفکته درمان شدند. (۲) زخم‌هایی که با 3×10^5 سلول فیروبللاست غیر ترنسفکته درمان شدند. (۳) زخم‌هایی که با نرمال سالین ۰/۹ درصد درمان شدند.

در مطالعه حاضر از استرپتوزوتوسین برای القاء دیابت استفاده شده است. استرپتوزوتوسین در آب مقطر حل و به میزان 55mg/Kg پس از تحمل ۱۲ ساعت بی‌غذایی، به صورت داخل صفاقی طی یک نوبت تزریق شد. هفت روز پس از تزریق استرپتوزوتوسین، از ناحیه دم حیوان خون‌گیری انجام و میزان قند خون با دستگاه مربوطه مورد سنجش قرار گرفت و در صورتی که قند خون آن‌ها بالای 250 mg/dl بود، این حیوانات دیابتی محسوب می‌شدند. در غیر اینصورت تزریق فقط یکبار دیگر تکرار می‌شد. سپس به مدت یک ماه تامل شد تا شرایط هیپرگلیسمی در آن‌ها تثبیت شود. هر هفته قند خون آن‌ها ثبت می‌شد، در صورتی که قندخون آن‌ها کم‌تر از 250 mg/dl بود، رت‌ها از برنامه تحقیق حذف می‌شدند. در مدتی که حیوانات دیابتی بودند، علائم مشترکی نظیر پرخوری، پرنوشی، پر ادراری و کاهش وزن را نشان دادند.

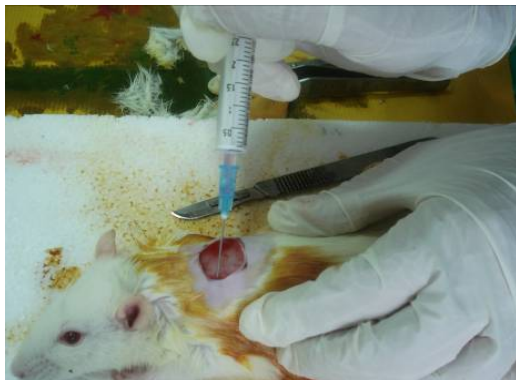
جهت تهیه و کشت سلول فیروبللاست، بعد از القاء بیهوشی، ناحیه شکم رت تراشیده شد و پوست کاملاً ضد عفونی گردید. یک نوار کوچک از پوست با تمام ضخامت به ابعاد $2 \times 2\text{cm}$ با یک اسکالپل برداشته شد.

زخم ایجاد شده توسط گاز وازلین و پانسمان استریل پوشیده شد. نمونه در محیط کشت DMEM (Invitrogen, UK) حاوی آنتی‌بیوتیک (پنی‌سیلین، استرپتومایسین)، ضد قارچ و سرم قرار داده و به اطاق کشت منتقل شد. تمام مراحل جداسازی بافت از پوست مورد نظر زیر هود لامینار و با استفاده از مواد، معرف‌ها و وسایل استریل انجام گرفت.

ابتدا نمونه پوست را یک بار با اتانل ۷۰ درصد و ۳ بار با PBS شستشو داده، سپس با استفاده از Trypsin-EDTA (1X) (Gibco®) ۲۵ درصد درم از اپی درم جدا شد. درم با قیچی استریل به قطعات ۱ میلی‌متری قطعه قطعه گردید و با روش explantation در فلاسک‌های کشت ۵۰ میلی‌لیتری کشت داده و در انکیباتور در دمای 37°C درجه سانتی‌گراد با ۵ درصد دی‌اکسیدکربن قرار داده شد. سپس محیط کشت کامل شامل محیط کشت DMEM (Gibco, Cat.No.31966021) با ۱۰ درصد سرم جنین گاوی (FBS (Invitrogen), L-glutamine (Sigma)، پنی‌سیلین ۱۰۰ واحد در هر میلی‌لیتر، استرپتومایسین ۱۰۰ میکروگرم در هر میلی‌لیتر، فونزیزون ۱ میکروگرم در هر میلی‌لیتر به فلاسک اضافه گردید. سپس هر سه روز یک بار محیط کشت تعویض گردید. در زمانی که به هم پیوستگی کلنی‌ها به ۹۰-۸۵ درصد رسید، با تریپسین کردن، فیروبللاست‌ها از کف فلاسک جدا شده و پس از تهیه سوسپانسیون و سانتریفیوژ، فیروبللاست‌ها جهت پاساژ به فلاسک‌های جدید منتقل شدند. سلول‌ها بعد از ۵ مرحله پاساژ در فریزر -80°C درجه سانتی‌گراد جهت مصرف ذخیره گردیدند.

برای ترنسفرژن IGF-1 در این تحقیق از لیپوفکتامین ۲۰۰۰ به عنوان معرف ترنسفکشن استفاده شد. جهت به دست آوردن بالاترین بازده ترنسفکشن و پایین بودن سمیت (cytotoxicity) روش‌های ترنسفکشن با تغییر دانسیته سلولی، غلظت cDNA و Lipofectamine 2000 بهینه شدند. برای این منظور

سانتی متر برش داده شد. بعد از شمارش سلول‌ها با استفاده از trypan blue exclusion test، سلول‌های فیروبللاست ترنسفکته و ترنسفکته نشده پاساژ ۵ در دو سرنگ مجزا حاوی مدیوم با سرم و بدون آنتی‌بیوتیک به اتاق جراحی منتقل گردیدند. در روز صفر که روز جراحی است حیوانات در اتاق جراحی بیهوش شدند و بعد از ایجاد مدل زخم حاد، سلول‌های ترنسفکته و غیر ترنسفکته مجدداً سوسپانسیون شده و با سرنگ به صورت intradermaly در اطراف لبه زخم در ۴ ناحیه به گروه‌های ۱ و ۲ تزریق شد و در گروه ۳ هم حجم آن نرمال سالین دریافت کردند (تصویر شماره ۱). بعد از عمل موش‌ها به صورت جداگانه در قفس نگهداری شدند.



تصویر شماره ۱: تزریق سوسپانسیون سلولی به داخل لبه زخم

جهت مطالعات بافت‌شناسی با برداشتن نوار کوچکی از پوست حاوی بخشی از منطقه زخم و منطقه سالم (unwound) تهیه شد. سپس نمونه‌ها را در بافر پارافرمالدهید ۴ درصد فیکس کرده و پس از ثبوت بافت مراحل آماده‌سازی به وسیله دستگاه اتوتکنیکون به صورت خودکار انجام شد. پس از قالب‌گیری با پارافین برش‌های سریال به ضخامت ۵ میکرومتر با فاصله ۱۵ میکرومتر تهیه شد و رنگ‌آمیزی لام‌ها با استفاده از رنگ‌های هماتوکسیلین و ائوزین انجام گردید. ملاک‌های ارزیابی ترمیم بافت که شامل اپی‌تلیالیزه شدن، میانگین کراتینوسیت‌ها و فیروبللاست‌ها و شدت التهاب می‌باشد، توسط پاتولوژیست به صورت Blind بررسی گردید.

فیروبللاست‌های پاساژ ۵ با دانسیته 4×10^4 سلول در پلیت ۹۶ خانه کشت داده شدند. زمانی که بهم پیوستگی کلنی‌های سلول‌های کشت داده شده به ۹۵-۸۵ درصد رسید، ترنسفکشن با دو متد مستقیم و معکوس و با نسبت‌های مختلف $(\frac{1}{1}, \frac{1}{2}, \frac{1}{3}, \frac{1}{4}, \frac{1}{5}, \frac{1}{6}, \frac{1}{8}, \frac{1}{10})$ غلظت Igf1 (NM_001082477) Rat cDNA Clone (Origene, Cat No. RN200508) (در میکروگرم) به لیوفکتامین ۲۰۰۰ (Invitrogen-Cat. No. 11668-027) (در میکرولیتر) انجام شد. محلول ترنسفکشن در محیط کشت فاقد سرم و فاقد آنتی‌بیوتیک به سلول اضافه شد. سپس سلول‌ها در دمای ۳۷ درجه و در CO₂ ۵ درصد اینکوبه شدند و هر یک ساعت سلول‌ها زیر میکروسکوپ چک شدند. در صورت مشاهده تغییرات در مورفولوژیکی سلول‌ها، محیط ترنسفکشن توسط محیط حاوی سرم جایگزین می‌شد. محیط کشت سلول بعد از ۲۴، ۴۸ و ۷۲ ساعت جهت آنالیز کمی پروتئین IGF-1 جمع‌آوری شد.

برای سنجش میزان پروتئین IGF-1 تولید شده توسط سلول‌های فیروبللاست ترنسفکته شده و سلول‌های فیروبللاست ترنسفکته نشده (کنترل) در محیط In vitro مایع رویی کشت با روش ELISA ارزیابی گردید. برای این منظور از کیت Quantikine Eliza Mouse/Rat IGF-1 Immunoassay (Cat. No. MG100) طبق دستور شرکت سازنده استفاده شد.

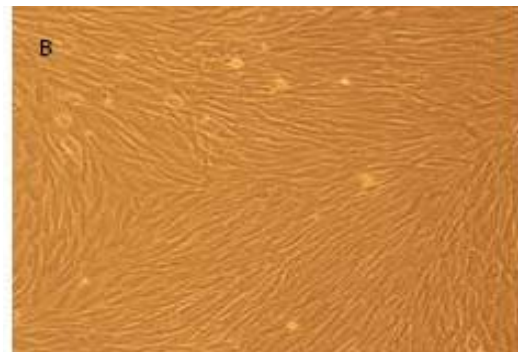
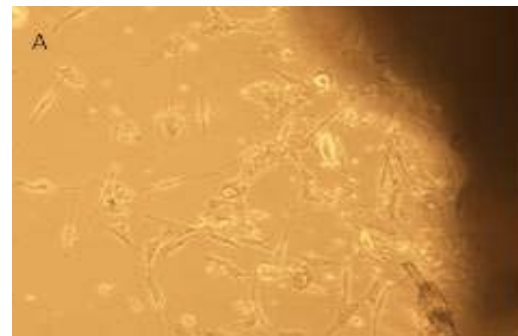
برای ایجاد مدل زخم به ضخامت کامل پوست، ابتدا حیوان مورد نظر در Restrainer با تزریق داخل عضلانی Ketamine به میزان ۵۰ mg/kg و xylezine به میزان ۵ mg/kg بیهوش شدند. پس از مهار نمودن حیوان به کمک تخته جراحی، ناحیه پشت حیوان با استفاده از کلیپر تراشیده شده و به وسیله بتادین و الکل طبی سفید ۷۰ درصد ضدعفونی شد و با رعایت شرایط استریل پس از علامت‌گذاری ناحیه برش با استفاده از خط‌کش و ماژیک، به کمک اسکالپل برشی یک برش پوستی مربع شکل با ضخامت کامل پوست به ابعاد ۱/۵ در ۱/۵

داده‌های کمی گروه‌های شاهد و تجربی با نرم‌افزار SPSS، نسخه ۱۵ ارزیابی شد و تمام داده‌ها با تست‌های ANOVA، One-Way ANOVA و Tukey بیان شد. تفاوت معنی‌دار بین گروه‌ها تجزیه و تحلیل شدند. اختلاف میانگین بین گروه‌ها تعیین شد و $p < 0.05$ معنادار محسوب شد.

یافته‌ها

۱- یافته‌های کشت سلول فیروبلاست:

بعد از جداسازی بخشی از درم ناحیه شکم رت و سپس کاشت آن در فلاسک به روش Explantation، فیروبلاست‌ها به صورت شعاعی در اطراف درم کاشته شده رشد کردند و این رشد در ۷۲ ساعت اولیه بعد از کشت قابل مشاهده بود (تصویر شماره ۲-A). سلول‌های فیروبلاست کشت داده شده تکثیر یافته و بعد از ۱۹ روز به هم پیوستگی کلنی‌ها به ۹۵-۹۰ درصد رسیدند (تصویر شماره ۲-B).



تصویر شماره ۲: A) رشد فیروبلاست‌ها در اطراف درم کاشته شده بعد از گذشت ۷۲ ساعت (بزرگنمایی $\times 100$) B) فیروبلاست‌های کشت داده شده بعد از ۱۹ روز (بزرگنمایی $\times 100$)

۲- بهینه‌سازی ترانسفرژن در محیط *in vitro* به سلول فیروبلاست رت *Optimization of in vitro gene transfer to rat fibroblast* در تحقیق حاضر برای بهینه‌سازی روش ترانسفکشن از غلظت‌های مختلف معرف ترانسفکشن از دو روش مستقیم و معکوس استفاده شد. نتایج نشان داد بیان IGF-1 در روش معکوس بیشتر از روش مستقیم بود.

استفاده از 0.2 میکروگرم از IGF-1 با 1 میکرولیتر از لیپوفکتامین 2000 در پلیت 96 خانه و با استفاده از متد معکوس بعد از 24 ساعت افزایش معنی‌دار در بیان فیروبلاست‌های ترانسفکته، تقریباً $5/7$ برابری ($1/12 \pm 96/95$ پیکوگرم/میلی‌لیتر)، در مقایسه با گروه کنترل ($1/76 \pm 16/9$ پیکوگرم/میلی‌لیتر) داشت. در حالی که در 48 و 72 ساعت بعد از ترانسفکشن، این میزان به تدریج کاهش یافته است (به ترتیب $3/4$ برابر و $1/3$ برابر در مقایسه با گروه کنترل) (تصویر شماره ۳).

نمودار شماره ۱: آنالیز کمی میزان پروتئین IGF1 در محیط In vitro در سلول‌های فیروبلاست ترانسفکته شده نسبت به سلول‌های ترانسفکته نشده (گروه کنترل) به روش ترانسفکشن معکوس در 24 ، 48 و 72 ساعت بعد از ترانسفکشن در محیط آزمایشگاهی

۳- یافته‌های ماکروسکوپی

24 ساعت بعد از ترانسفکشن سلول‌ها، سوسپانسیون حاوی سلول‌های Native و ترانسفکته شده به روی زخم‌های تمام ضخامت منتقل شدند. به هم پیوستگی لبه بریدگی و تراکم و تغلیظ محتویات و خشکی زخم از اواخر روز دوم در گروه تجربی قابل مشاهده بود. در حالی که در گروه کنترل این مشخصات در اواخر روز سوم قابل مشاهده بود. هنگام بیوپسی از محل زخم‌های ترمیم یافته به منظور بررسی بافت‌شناسی، بافت فیروزه با قوام غیرطبیعی و سفت در زخم گروه شاهد به خوبی قابل مشاهده بود.

۴- یافته میکروسکوپی

8 روز بعد از عمل، بیوپسی از محل زخم رت‌ها انجام شد. تأثیر سلول درمانی و ژن درمانی روی

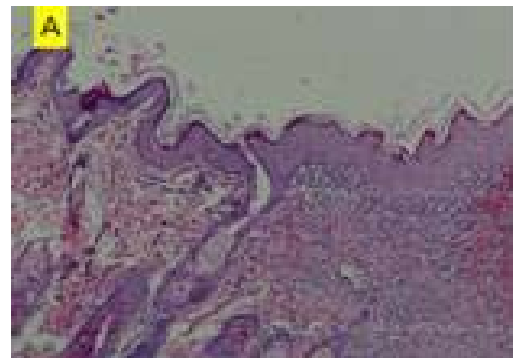


تصویر شماره ۳: تصویری از ناحیه زخم به همراه بخشی از پوست سالم ۸ روز بعد از جراحی. (A) ساختمان بافتی زخم درمان شده با فیبروبلاست ترنسفکته (B) ساختمان بافتی زخم درمان شده با فیبروبلاست ترنسفکته نشده (C) ساختمان بافتی زخم درمان شده با نرمال سالین (رنگ آمیزی H&E، با بزرگنمایی $10\times$)

جدول شماره ۱: نتایج حاصل از آنالیز آماری (One-way ANOVA, Tukey) فاکتورهای شمارش شده در ناحیه زخم رت های دیابتی بر اساس $MEAN \pm SEM$ در روز هشتم. میزان شاخص های کمی زخم در سه گروه: (A) زخم های درمان شده با فیبروبلاست ترنسفکته (n=5)، (B) زخم های درمان شده با فیبروبلاست ترنسفکته نشده (n=5)، (C) زخم های درمان شده با نرمال سالین (n=5)

گروه ها	پهنای اپی درم (میکرومتر)	فیبروبلاست $\times 1000$	کراتینوسیت $\times 1000$	لنفوسیت $\times 1000$
A	$74/2 \pm 1/64$	$34/8 \pm 1/78$	$37/8 \pm 0/83$	$32/6 \pm 1/51$
B	$86/6 \pm 4/39$	$30/4 \pm 1/14$	$31/6 \pm 2/96$	$35/6 \pm 1/14$
C	$44/4 \pm 1/94$	$24/6 \pm 1/51$	$24/8 \pm 1/48$	$40/8 \pm 3/56$
A & B	$p=0/976$	$p=0/016$	$p=0/005$	$p=0/496$
A & C	$p=0/000$	$p=0/000$	$p=0/000$	$p=0/000$
B & C	$p=0/000$	$p=0/000$	$p=0/001$	$p=0/011$

شاخص های کمی ترمیم زخم به تفکیک گروه های مورد مطالعه در جدول شماره ۱ ارائه شده است و ارزیابی هیستوپاتولوژیکی از بیوپسی زخم نشان داده است اپیتلیالیزیشن زخم در گروه تجربی تقریباً به طور کامل بدون علائم کلینیکی، التهابی یا نقص اپی تلیالی صورت گرفت. ارزیابی میکروسکوپ نوری نشان داد ضخامت اپی درم در گروهی که فیبروبلاست ترنسفکته دریافت کردند با $74/2 \pm 1/64$ میکرومتر افزایش معنی داری نسبت به گروه کنترل با $44/4 \pm 1/94$ میکرومتر دارند ($p=0/000$). به علاوه در این گروه بافت گرانوله، متراکم تر، فیروزه تر و با التهاب کم تر بود (تصویر شماره ۳. A). در زخم هایی که سلول Native دریافت کردند، اپی تلیوم تازه تشکیل شده در مقایسه با زخم هایی که سلول ترنسفکته دریافت کردند، کم تر سازمان یافته است (تصویر شماره ۳. B). در زخم هایی که نرمال سالین دریافت کردند تعداد سلول های لنفوسیت افزایش معنی داری در مقایسه با گروهی که فیبروبلاست ترنسفکته دریافت کردند داشتند ($p=0/000$) (تصویر شماره ۳. C). همچنین در گروه کنترل شدت التهاب نسبت به گروه تجربی بیش تر بود.



بحث

سلول های فیبروبلاست نقش مهمی در فاز تکثیر

بهبود زخم حاد دارند. آن‌ها به محل زخم مهاجرت کرده، کلاژن و سایر پروتئین‌های ضروری برای ماتریکس خارج سلولی را سنتز می‌کنند (۱۶). نتیجه مطالعه حاضر هم نشان داد که فیروبلاست آلورژنیک کشت داده شده نقش مهمی در افزایش ضخامت اپی‌درم دارد.

اثرات مفید پیوند سلول‌های فیروبلاست و کراتینوسیت به شکل سوسپانسیون در بهبود زخم اثبات شد (۱۸). سلول‌های فیروبلاست بسیاری از سیتوکین‌ها و فاکتورهای رشد را تولید می‌کنند، که تکثیر و تمایز سلول‌ها را در بستر زخم تحریک می‌کنند (۳۰). فاکتورهای رشد نقش مهمی در روند بهبود زخم دارند. علاوه بر این، کاهش غلظت فاکتورهای رشد در زخم‌های دیابتی مشاهده شده است و تصور می‌شود غلظت غیرطبیعی فاکتورهای رشد در روند بهبود زخم اثر می‌گذارد (۲۴، ۳۱).

در سال‌های اخیر پیشرفت‌های زیادی در خصوص انتقال ژن به بافت صورت گرفته است، اما همچنان برای رسیدن به غلظت‌های بالای ترانس ژن در داخل بدن دشواری‌هایی وجود دارد. این مشکل به ویژه در پوست، جهت به دست آوردن حداکثر بیان ژن - بدون ایجاد عارضه - به منظور بهبود زخم مطرح می‌باشد (۲۸). همچنین با توجه به طول عمر کوتاه فاکتورهای رشد در محیط زخم (۲۹، ۳۲)، ژن درمانی به همراه سلول درمانی اهمیت دارد.

در این تحقیق، انتقال ژن nonviral را در سلول‌های فیروبلاست آلورژنیک ارزیابی و بهینه‌سازی شد. سپس بیان IGF-1 در شرایط آزمایشگاهی اندازه‌گیری گردید. لیپوفکتامین ۲۰۰۰ به عنوان یک معرف ترانسفکشن با بیان ژن بالا با cdNA مخلوط شد. cdNA/لیپوفکتامین ۲۰۰۰ بانسبت ۱ به ۵ و با تراکم سلول 4×10^4 دارای بازدهی بالایی در ترانسفکشن است. بیان ژن IGF-1 پس از ۲۴ ساعت به ۹۶/۹۵ پیکوگرم/میلی لیتر رسید.

مطالعات نشان داده که با ترانسفر ژن IGF-1، بیان فاکتورهای رشد و کلاژن نوع ۴ افزایش می‌یابد و اپی‌تلیالیزه شدن تسهیل می‌گردد. ژن IGF-1 برونزاد

پاسخ داخل سلولی مشابه‌ای همانند ژن درونزاد دارد. IGF-1 در پلازما (در گردش خون) نقشی در بهبود زخم ندارد، اما IGF-1 موضعی نقش بسیار موثری در روند بهبود زخم دارد (۳۳).

در این مطالعه نشان داده شد که فیروبلاست‌های ترانسفکته باعث افزایش معنی داری در ضخامت اپی‌درم و تعداد کراتینوسیت‌ها نسبت به گروه کنترل شده‌اند. همچنین فیروبلاست‌های غیر ترانسفکته توانستند افزایش قابل توجهی در ضخامت اپی‌درم و تعداد کراتینوسیت‌ها نسبت به گروه کنترل ایجاد کنند. هر چند این میزان کم‌تر از گروه قبل بود. مشابه این کار Jeschke و همکارانش در سال ۲۰۰۵ نشان دادند که IGF-1، مهاجرت سلول‌های کراتینوسیت را در ماتریکس خارج سلولی افزایش می‌دهد (۳۴).

پیوند فیروبلاست‌های ترانسفکته تعداد سلول‌های فیروبلاست در ماتریکس خارج سلولی را نسبت به هر دو گروه پیوند فیروبلاست غیر ترانسفکته و کنترل به طور معنی داری افزایش داده است. در دیگر مطالعات هم نشان داده شد کاهش IGF-1 در افراد دیابتی باعث اختلال در ترمیم زخم می‌شود (۱۸). همچنین Grazul-Bilska و همکارانش در سال ۲۰۰۲ نشان دادند تکثیر سلول فیروبلاست در افراد دیابتی غیر طبیعی بوده و بیان داشتند فاکتور رشد برونزاد، تکثیر فیروبلاست درونزاد را تحریک کرده و ترمیم زخم را تسهیل می‌کند (۲۳، ۲۶). به نظر می‌رسد در مطالعه حاضر افزایش بیان IGF-1 سبب تحریک تکثیر فیروبلاست درونزاد شده و باعث بهبود زخم شده است.

فاکتورهای زیادی از جمله عفونت، هیپوکسی بافتی، نکروز، آگزودا و سطوح بالای سیتوکین‌های التهابی می‌توانند در ترمیم زخم‌ها به ویژه زخم‌های دیابتی اختلال ایجاد کنند (۳۵). اساس ترمیم بر کاهش التهاب، تشکیل بافت گرانولر حیاتی و افزایش تکثیر سلولی می‌باشد. بررسی هیستوپاتولوژیک لام‌های میکروسکوپی در این مطالعه نشان داده است که

امیدوارکننده برای درمان زخم‌های مزمن است. اما اثرات سیستمیک و طولانی مدت سلول درمانی هنوز اثبات نشده است. برای دستیابی به نتایج ارزشمندتر آماری در ارتباط با سلول درمانی و ژن درمانی، لازم است مطالعات در حیوانات بیش تری انجام شود. از آنجا که پوست خوک از لحاظ فیزیولوژیکی به انسان شباهت بیش تری دارد (۳۷) و همچنین چند زخم را می‌توان در یک مدل حیوانی ایجاد کرد، در نتیجه تحقیق بر روی خوک‌ها توصیه می‌شود.

سپاسگزاری

از معاونت محترم تحقیقات و فناوری دانشگاه علوم پزشکی مازندران و ریاست محترم مرکز تحقیقات پوست دانشگاه علوم پزشکی شهید بهشتی به دلیل تأمین اعتبارات مالی پروژه و امکانات و تجهیزات مورد نیاز تشکر می‌نمایم.

References

1. Azizi F, Gouya MM, Vazirian P, Dolatshahi P, Habibian S. The diabetes prevention and control programme of the Islamic Republic of Iran. *East Mediterr Health J* 2003; 9(5-6): 1114-1121.
2. Khanolkar MP, Bain SC, Stephens JW. The diabetic foot. *QJM* 2008; 101(9): 685-695.
3. Wild S, Roglic G, Green A, Sicree R, King H. Global prevalence of diabetes: estimates for the year 2000 and projections for 2030. *Diabetes Care* 2004; 27(5):1047-1053.
4. Singh N, Armstrong DG, Lipsky BA. Preventing foot ulcers in patients with diabetes. *JAMA* 2005; 293(2): 217-28.
5. American Diabetes Association. Consensus development conference on diabetic foot wound care: 7-8 April 1999, Boston, Massachusetts. *Diabetes Care* 1999; 22(8): 1354-1360.
6. Faglia E, Clerici G, Clerissi J, Gabrielli L, Losa S, Mantero M, et al. Early and five-year amputation and survival rate of diabetic patients with critical limb ischemia: data of a cohort study of 564 patients. *Eur J Vasc Endovasc Surg* 2006; 32(5): 484-490.
7. Falanga V. Wound healing and its impairment in the diabetic foot. *Lancet* 2005; 366(9498): 1736-1743.
8. Malhotra S, Bello E, Kominsky S. Diabetic foot ulcerations: biomechanics, charcot foot, and total contact cast. *Semin Vasc Surg* 2012; 25(2): 66-69.
9. Apelqvist J. Diagnostics and treatment of the diabetic foot. *Endocrine* 2012; 41(3): 384-397.
10. Vuorisalo S, Venermo M, Lepäntalo M. Treatment of diabetic foot ulcers. *J Cardiovasc Surg (Torino)* 2009; 50(3): 275-291.

-
11. Cavanagh PR, Lipsky BA, Bradbury AW, Botek G. Treatment for diabetic foot ulcers. *Lancet* 2005; 366(9498): 1725-1735.
 12. Kanzler MH, Gorsulowsky DC, Swanson NA.. Basic mechanisms in the healing cutaneous wound. *J Dermatol Surg Oncol* 1986; 12(11): 1156-1164.
 13. Lorenz HP. TGF-beta isoform and receptor expression during scarless wound repair. *J Craniofac Surg* 2001; 12(4): 387-388.
 14. Cochrane CA, Shearwood C, Walker M, Bowler Ph, Knottenbelt DC. The application of a fibroblast gel contraction model to assess the cytotoxicity of topical antimicrobial agents. *WOUNDS: A Compendium of Clinical Research and Practice* 2003; 15(8): 265-271.
 15. Yu DH, Mace KA, Hansen SL, Boudreau N, Young DM. Effects of decreased insulin-like growth factor-1 stimulation on hypoxia inducible factor 1-alpha protein synthesis and function during cutaneous repair in diabetic mice. *Wound Repair Regen* 2007; 15(5): 628-635.
 16. Loots MA, Lamme EN, Mekkes JR, Bos JD, Middelkoop E. Cultured fibroblasts from chronic diabetic wounds on the lower extremity (non-insulin-dependent diabetes mellitus) show disturbed proliferation. *Arch Dermatol Res* 1999; 291(2-3): 93-99.
 17. Spravchikov N, Sizyakov G, Gartsbein M, Accili D, Tennenbaum T, Wertheimer E. Glucose effects on skin keratinocytes: implications for diabetes skin complications. *Diabetes* 2001; 50(7): 1627-1635.
 18. Velandar P, Theopold C, Bleiziffer O, Bergmann J, Svensson H, Feng Y, et al. Cell suspensions of autologous keratinocytes or autologous fibroblasts accelerate the healing of full thickness skin wounds in a diabetic porcine wound healing model. *J Surg Res* 2009; 157(1): 14-20.
 19. Vranckx JJ, Hoeller D, Velandar PE, Theopold CF, Petrie N, Takedo A, et al. Cell suspension cultures of allogenic keratinocytes are efficient carriers for ex vivo gene transfer and accelerate the healing of full-thickness skin wounds by overexpression of human epidermal growth factor. *Wound Repair Regen* 2007; 15(5): 657-664.
 20. Takehara K. Growth regulation of skin fibroblasts. *J Dermatol Sci* 2000; 24(Suppl 1): S70-77.
 21. Mansbridge JN, Liu K, Pinney RE, Patch R, Ratcliffe A, Naughton GK. Growth factors secreted by fibroblasts: role in healing diabetic foot ulcers. *Diabetes Obes Metab* 1999; 1(5): 265-279.
 22. Singer AJ, Clark RA.. Cutaneous wound healing. *N Engl J Med* 1999; 341(10): 738-746.
 23. Todorović V, Peško P, Micev M, Bjelović M, Budeč M, Mičić M, et al. Insulin-like growth factor-I in wound healing of rat skin. *Regul Pept* 2008; 150(1-3): 7-13.
 24. Blakytyn R, Jude E. The molecular biology of chronic wounds and delayed healing in diabetes. *Diabet Med* 2006; 23(6): 594-608.
 25. Greenhalgh DG. Wound healing and diabetes mellitus. *Clin Plast Surg* 2003; 30(1): 37-45.
 26. Grazul-Bilska AT, Luthra G, Reynolds LP, Bilski JJ, Johnson ML, Abdullah SA, et al. Effects of basic fibroblast growth factor (FGF-2) on proliferation of human skin fibroblasts in type II diabetes mellitus. *Exp Clin Endocrinol Diabetes* 2002; 110(4): 176-181.
 27. Liu Y, Petreaca M, Yao M, Martins-Green M. Cell and molecular mechanisms of keratinocyte function stimulated by insulin during wound healing. *BMC Cell Biol* 2009; 10: 1.

28. Hirsch T, Spielmann M, Velandar P, Zuhaili B, Bleiziffer O, Fossum M, et al. Insulin-like growth factor-1 gene therapy and cell transplantation in diabetic wounds. *J Gene Med* 2008; 10(11): 1247-1252.
29. Lynch SE, Nixon JC, Colvin RB, Antoniades HN. Role of platelet-derived growth factor in wound healing: synergistic effects with other growth factor. *Proc Natl Acad Sci U S A* 1987; 84(21): 7696-7700.
30. Streit M, Braathen LR. Apligraf--a living human skin equivalent for the treatment of chronic wounds. *Int J Artif Organs* 2000; 23(12): 831-833.
31. Bitar MS, Al-Mulla F. ROS constitute a convergence nexus in the development of IGF1 resistance and impaired wound healing in a rat model of type 2 diabetes. *Dis Model Mech* 2012; 5(3): 375-388.
32. Cross SE, Roberts MS. Defining a model to predict the distribution of topically applied growth factors and other solutes in excisional full-thickness wounds. *J Invest Dermatol* 1999; 112(1): 36-41.
33. Jeschke MG, Schubert T, Krickhahn M, Polykandriotis E, Klein D, Perez-Polo JR, et al. Interaction of exogenous liposomal insulin-like growth factor-I cDNA gene transfer with growth factors on collagen expression in acute wounds. *Wound Repair Regen* 2005; 13(3): 269-277.
34. Peplow PV, Chatterjee MP. A review of the influence of growth factors and cytokines in in vitro human keratinocyte migration. *Cytokine* 2013; 62(1): 1-21.
35. Maxson S, Lopez EA, Yoo D, Danilkovitch-Miagkova A, Leroux MA. Concise review: role of mesenchymal stem cells in wound repair. *Stem Cells Transl Med* 2012; 1(2): 142-149.
36. Semenova E, Koegel H, Hasse S, Klatte JE, Slonimsky E, Bilbao D, et al. Overexpression of mIGF-1 in keratinocytes improves wound healing and accelerates hair follicle formation and cycling in mice. *Am J Pathol* 2008; 173(5): 1295-1310.
37. Montagna W, Yun JS. The Skin of the Domestic Pig. *J Invest Dermatol* 1964; 43(1): 11-21.